

Supramolecular Control over the Interparticle Distance in Gold Nanoparticle Arrays by Cyclodextrin Polyrotaxanes

Joao Paulo Coelho ¹, José Osío Barcina ², Elena Junquera ¹, Emilio Aicart ¹, Gloria Tardajos ¹, Sergio Gómez-Graña ³, Pablo Cruz-Gil ², Cástor Salgado ², Pablo Díaz-Núñez ⁴, Ovidio Peña-Rodríguez ⁴ and Andrés Guerrero-Martínez ^{1,*}

¹ Departamento de Química Física, Universidad Complutense de Madrid, Avenida Complutense s/n, 28040 Madrid, Spain; jpaulogaio@gmail.com (J.P.C.); junquera@quim.ucm.es (E.J.); aicart@quim.ucm.es (E.A.); tardajos@quim.ucm.es (G.T.)

² Departamento de Química Orgánica, Universidad Complutense de Madrid, Avenida Complutense s/n, 28040 Madrid, Spain; josio@quim.ucm.es

³ Departamento de Química en Ciencias Farmacéuticas, Universidad Complutense de Madrid, Plaza Ramón y Cajal s/n, 28040 Madrid, Spain; segome02@ucm.es

⁴ Instituto de Fusión Nuclear, Universidad Politécnica de Madrid, José Gutiérrez Abascal 2, 28006 Madrid, Spain; pablodn87@gmail.com (P.D.-N.); ovidio.pena@upm.es (O.P.-R.)

* Correspondence: aguerrero@quim.ucm.es; Tel.: +34-934-4274

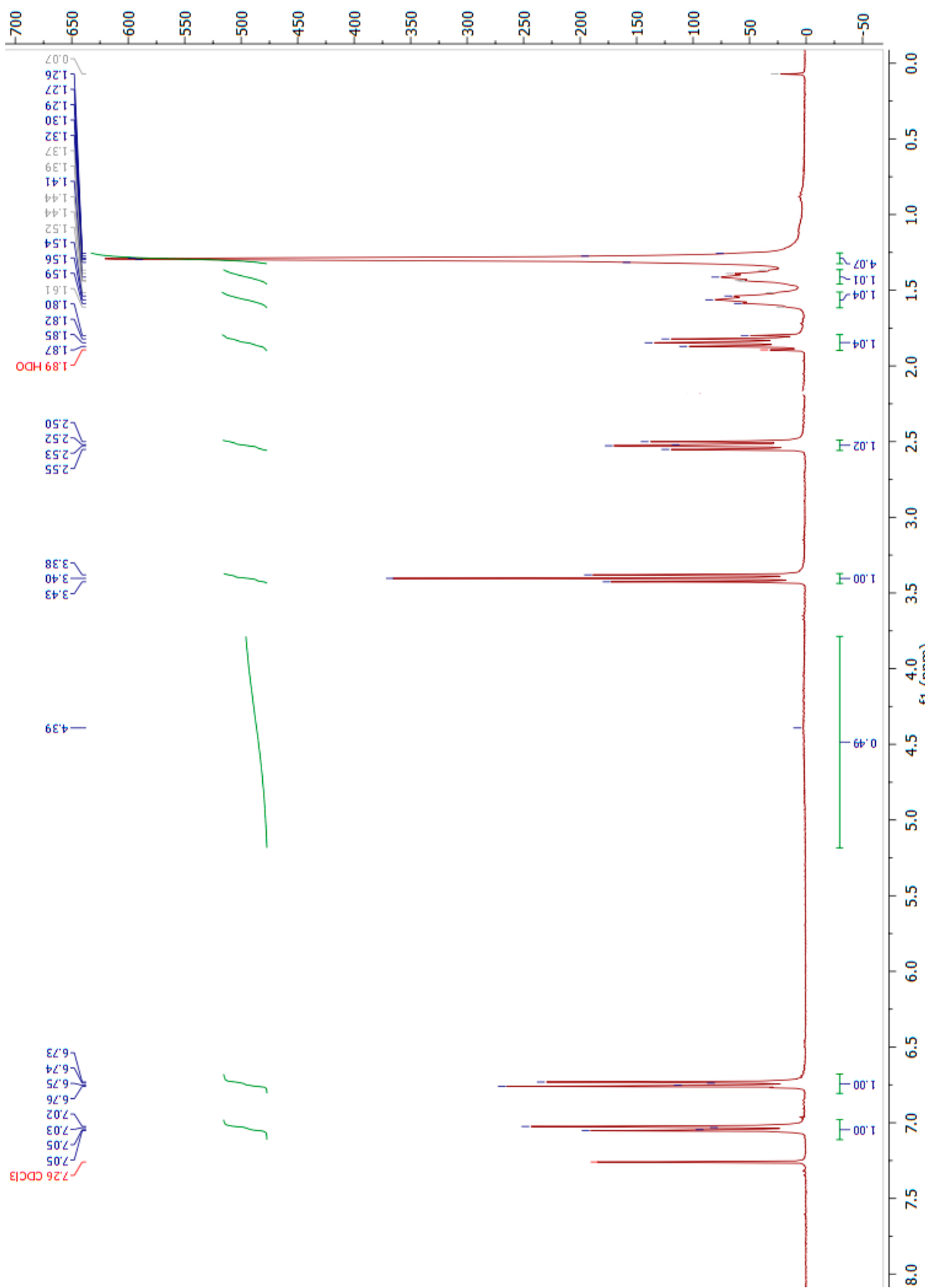


Figure S1. ^1H NMR spectrum of compound 10.

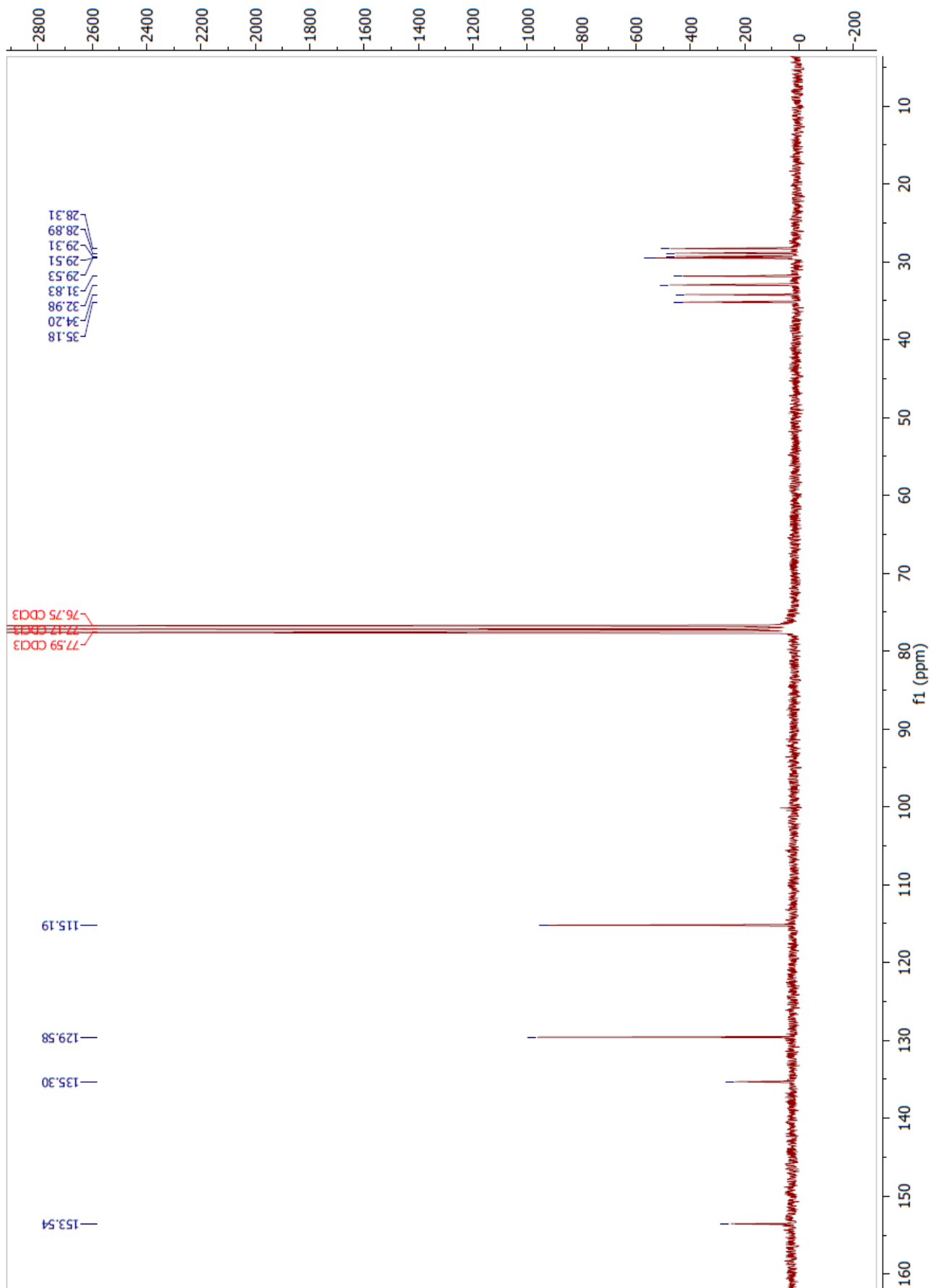


Figure S2. ¹³C NMR spectrum of compound 10.

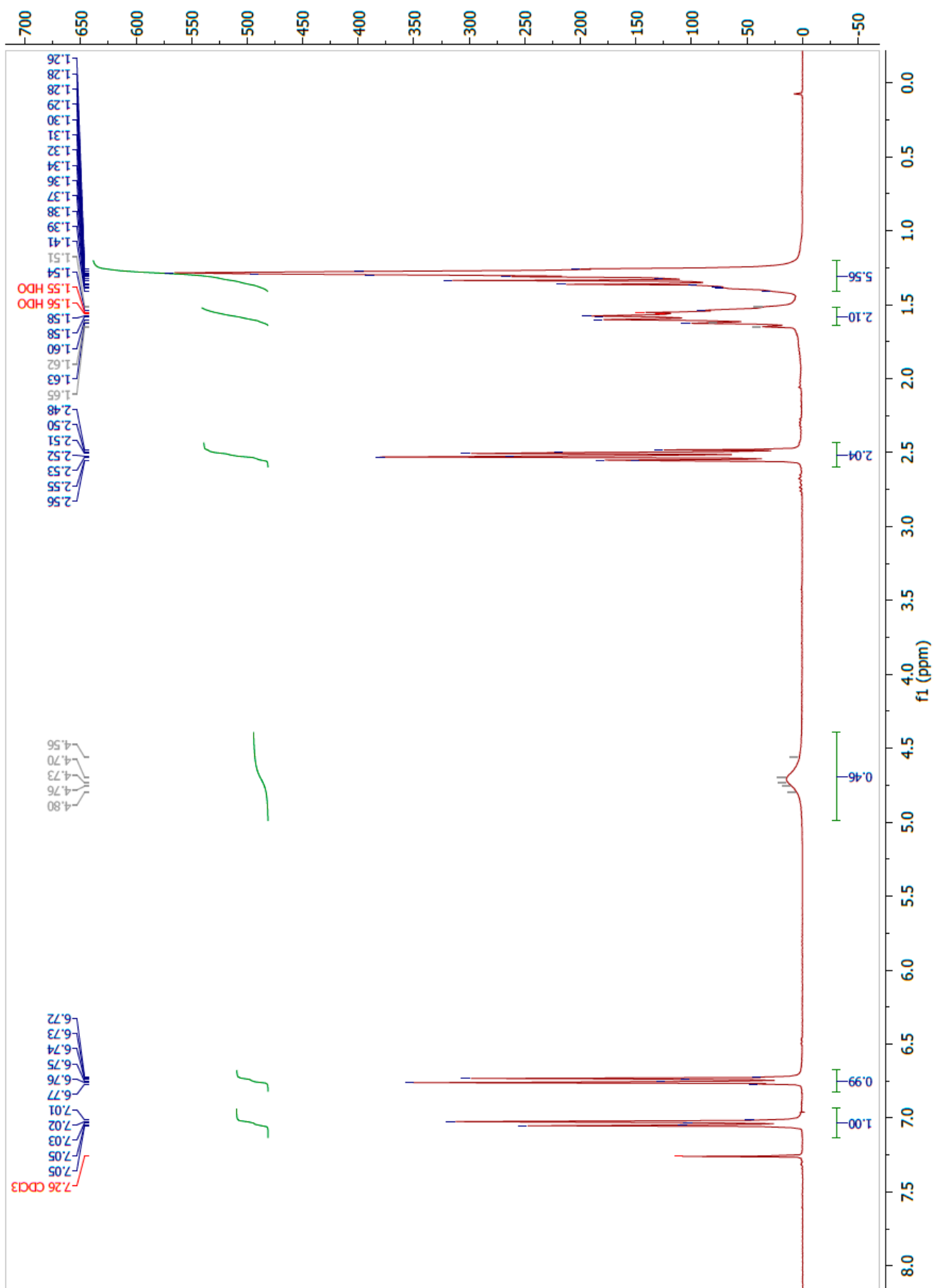


Figure S3. ¹H NMR spectrum of compound 11.

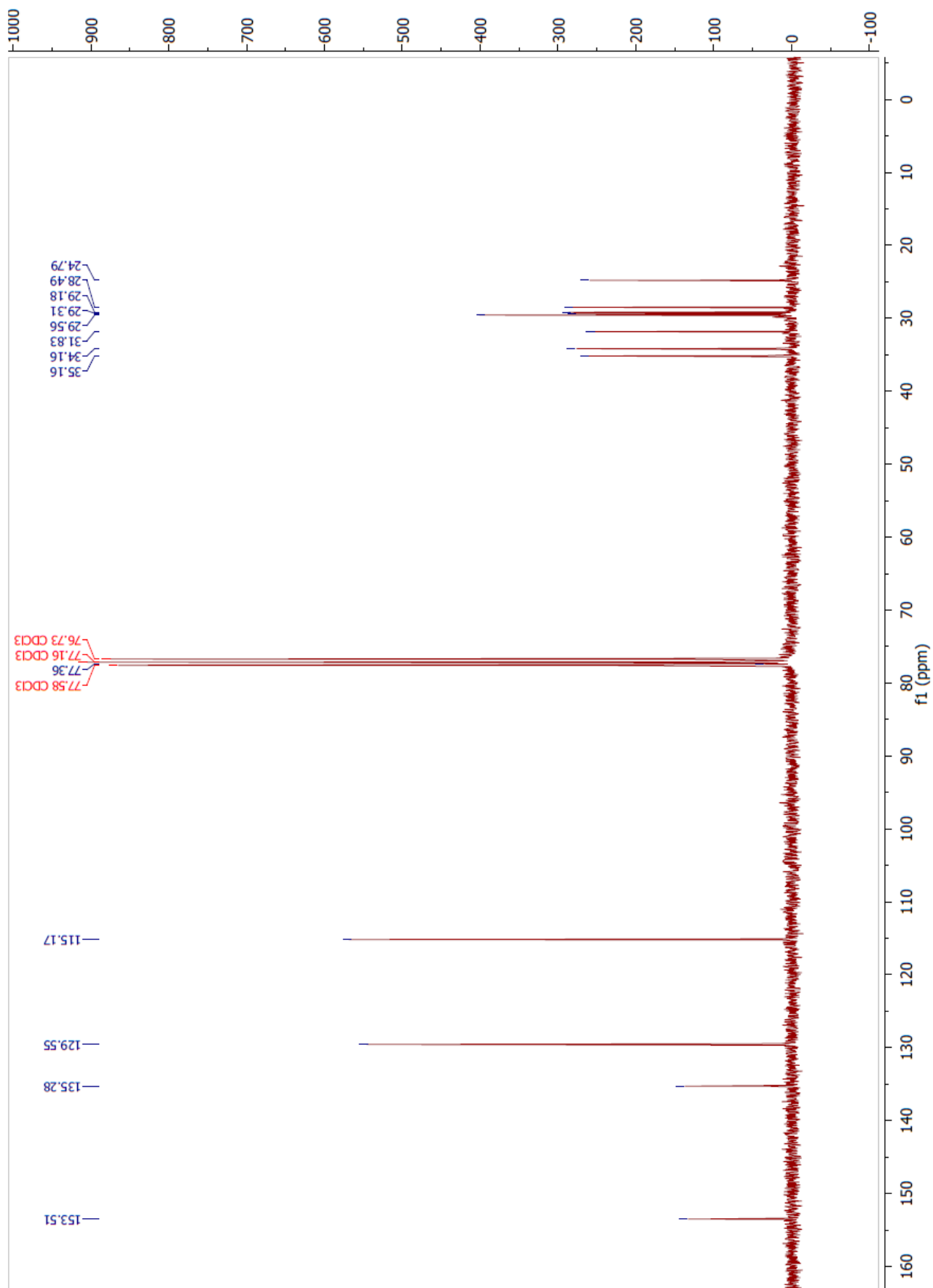


Figure S4. ¹³C NMR spectrum of compound 11.

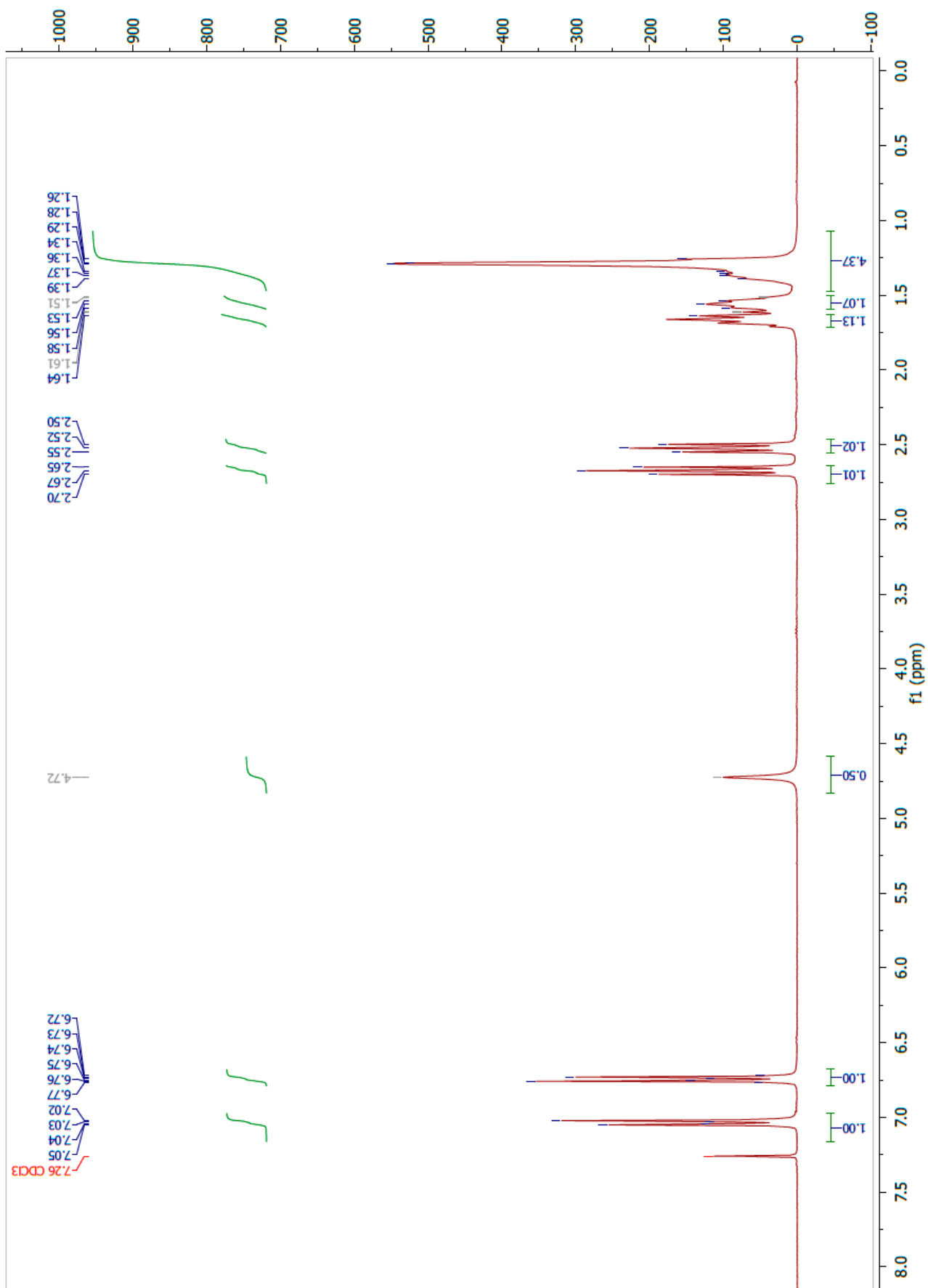


Figure S5. ¹H NMR spectrum of compound 12.

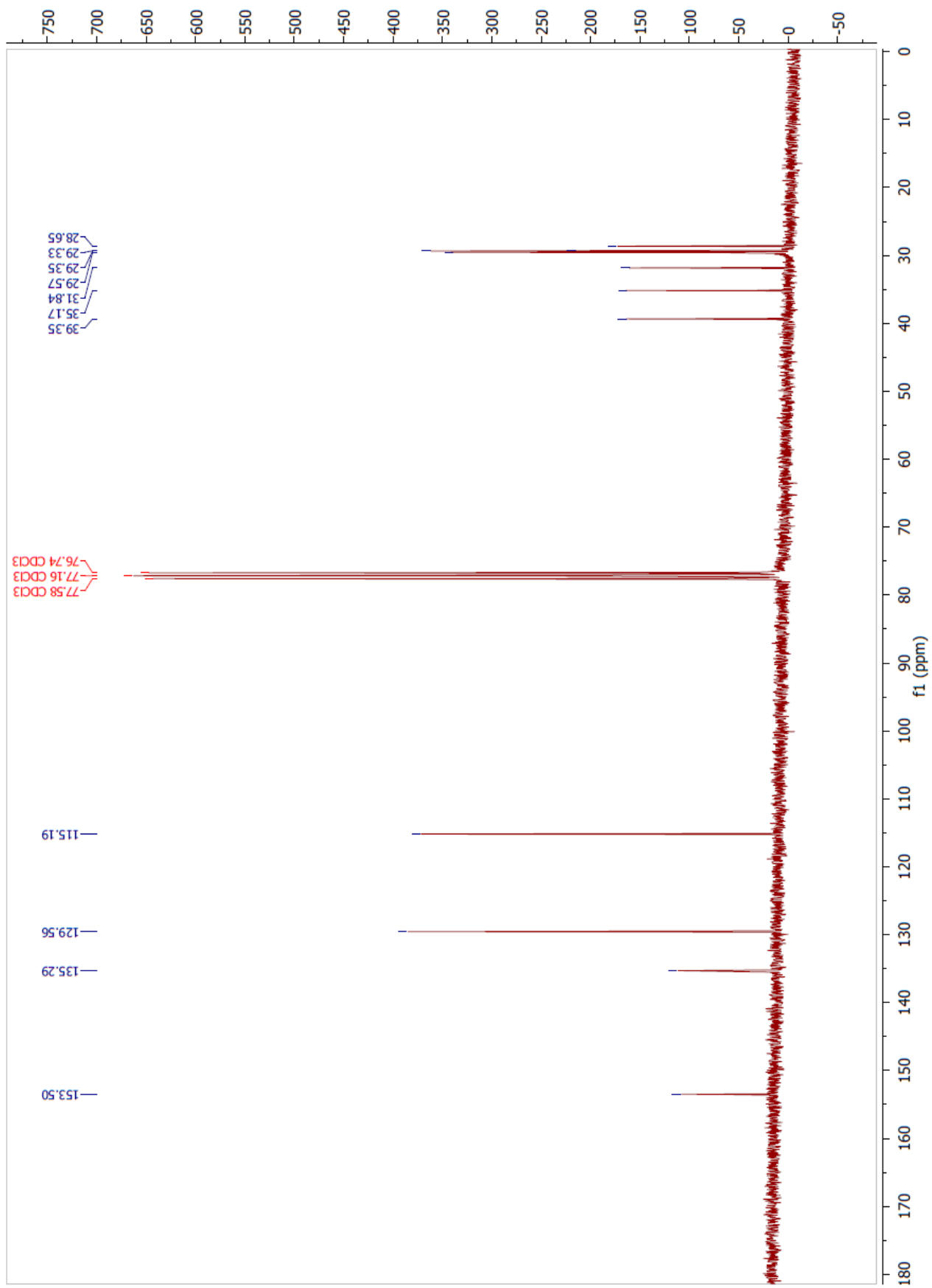


Figure S6. ¹³C NMR spectrum of compound 12.

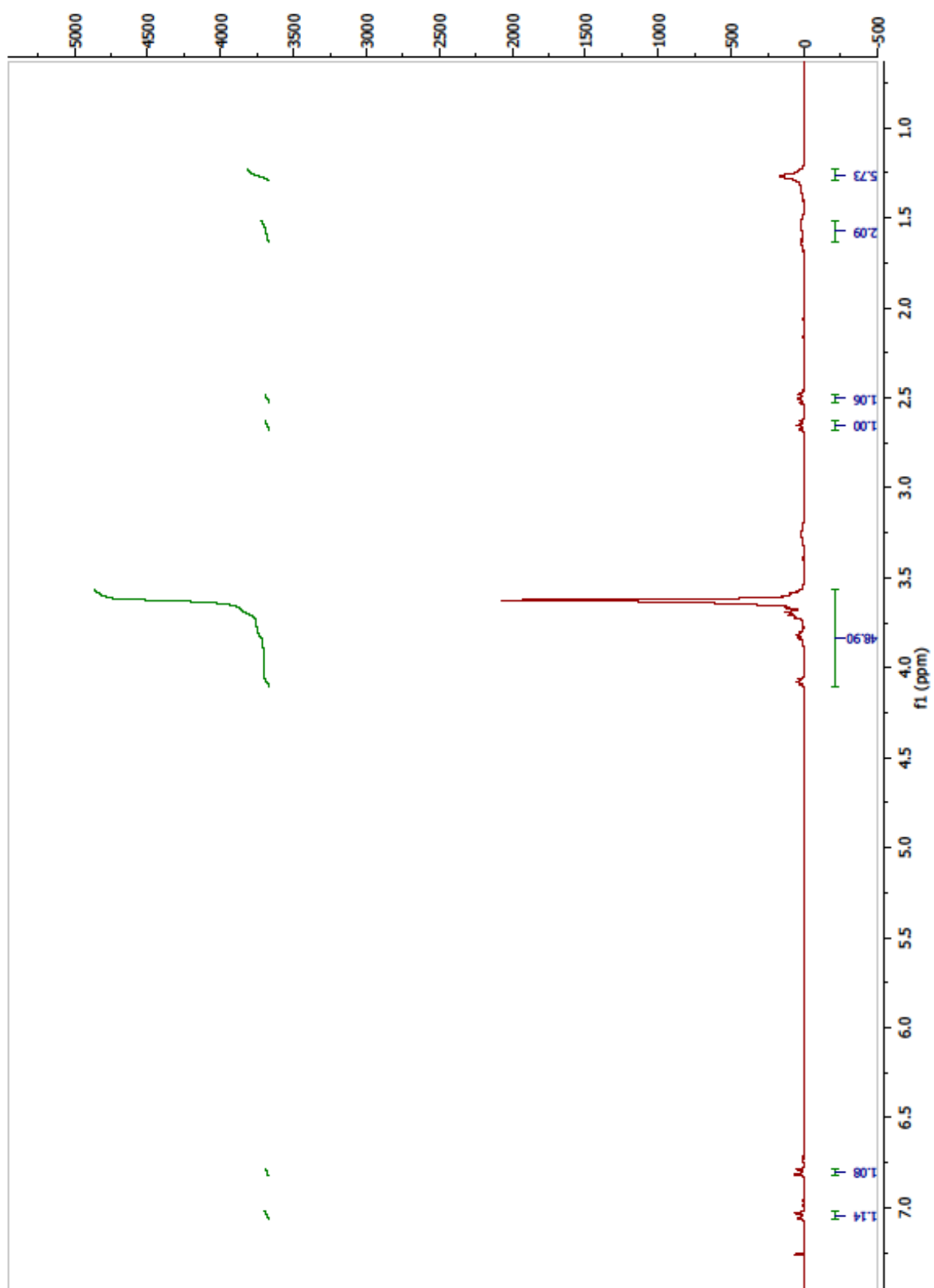


Figure S7. ^1H NMR spectrum of compound 14.

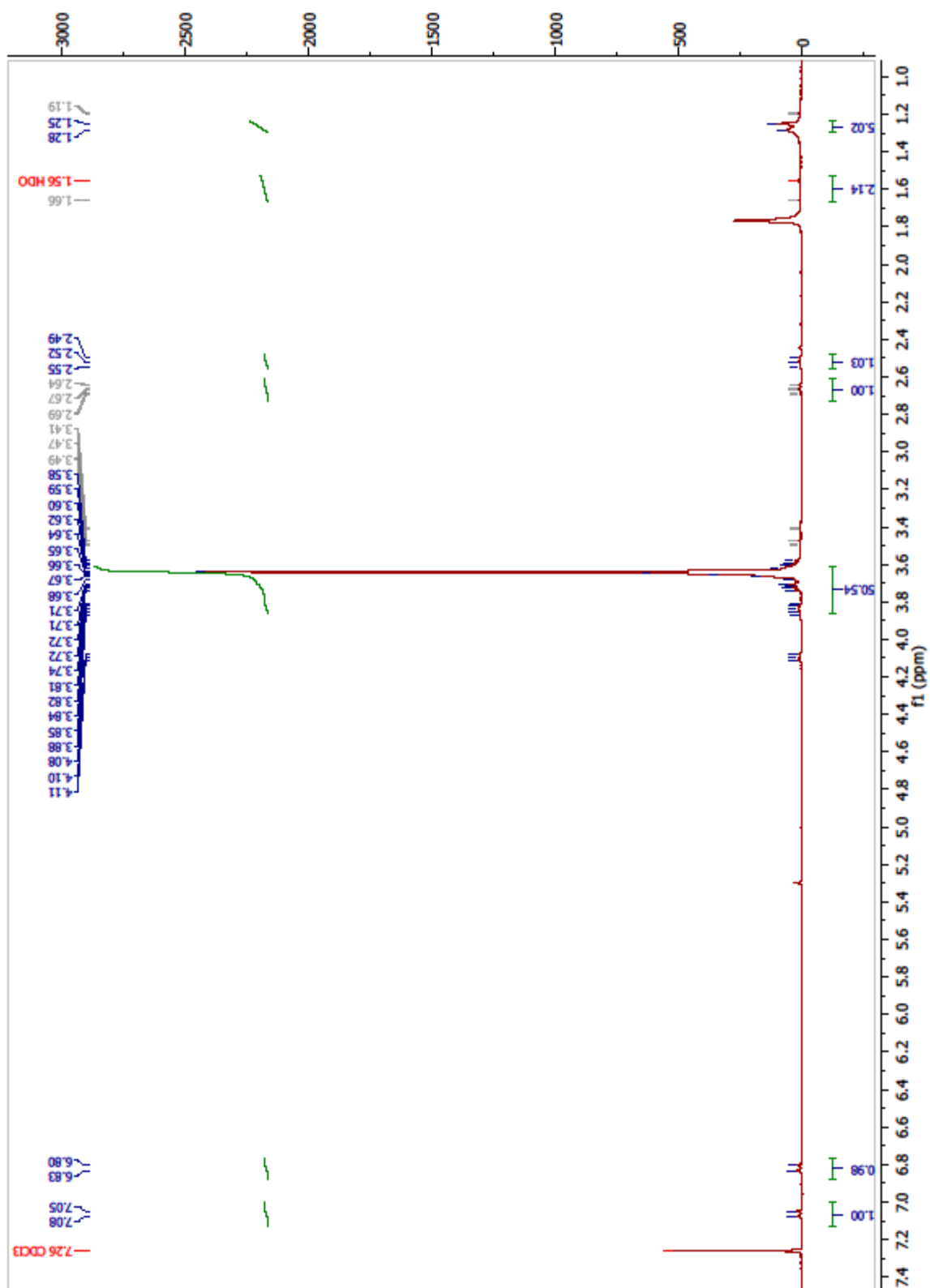


Figure S8. ^1H NMR spectrum of compound 15.

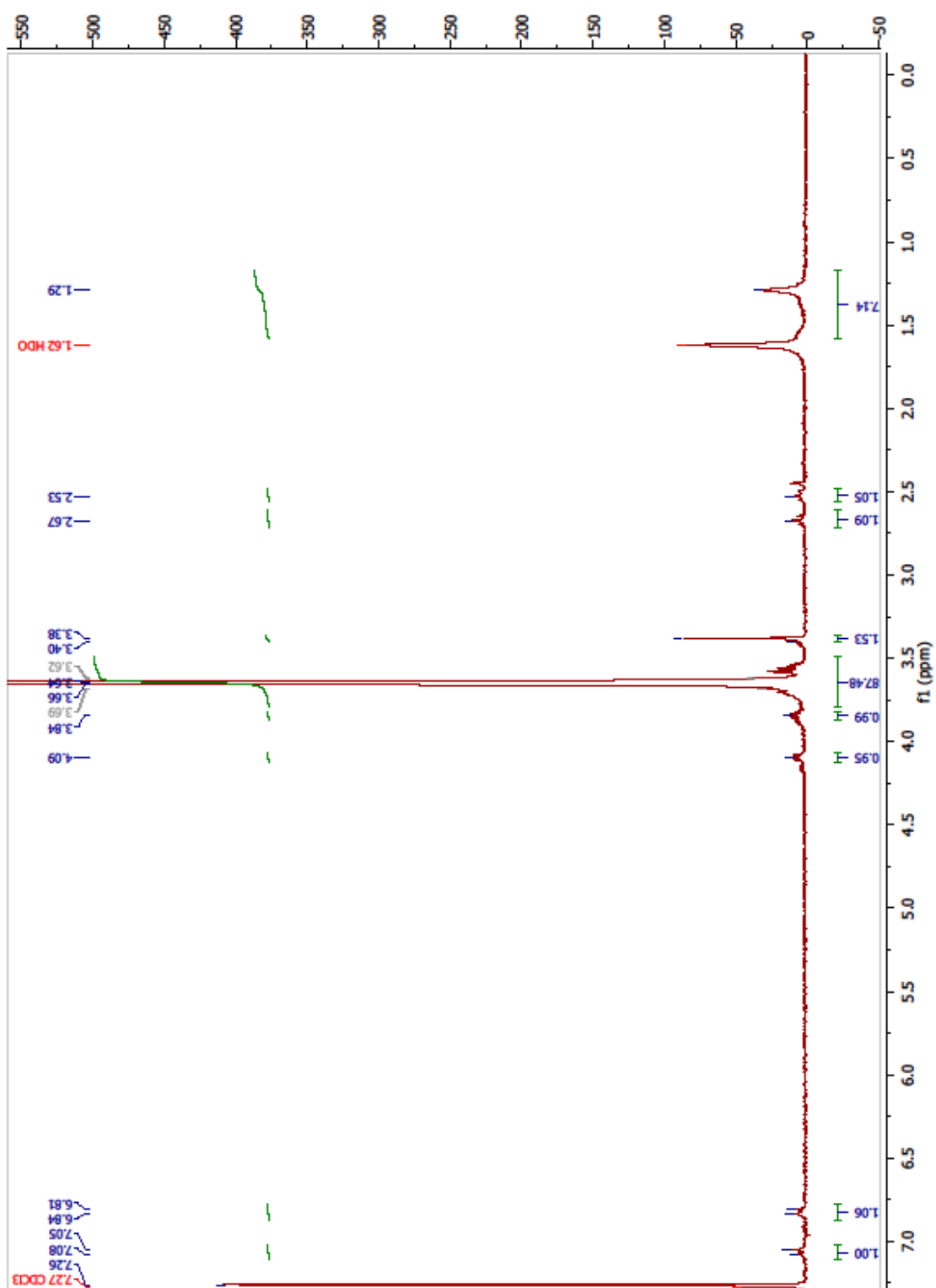


Figure S9. ¹H NMR spectrum of compound 16.